

01;06;11

Исследование электрофизических характеристик двумерных трехкомпонентных периодических моделей

© Б.Я. Балагуров, В.А. Кашин

Институт биохимической физики им. Н.М. Эмануэля РАН,
119991 Москва, Россия
e-mail: balagurov@deom.chph.ras.ru

(Поступило в Редакцию 19 февраля 2002 г.)

Аналитическими и численными методами исследованы различные электрофизические характеристики двух двумерных трехкомпонентных двоякопериодических систем. Для ряда значений входящих в задачу параметров вычислены и затабулированы в графическом виде эффективная проводимость, парциальные моменты напряженности электрического поля второго порядка и эффективный коэффициент Холла обеих моделей.

Введение

В настоящее время в изучении электрофизических свойств двухкомпонентных сред (в частности, композитов) достигнут определенный прогресс, особенно значительный в случае двумерных регулярных структур. Так, аналитическое решение задачи о проводимости ряда двумерных двоякопериодических моделей (с диэлектрическими или идеально проводящими включениями) дано в работах [1–3]. В наиболее интересном случае, когда обе компоненты имеют конечную ненулевую проводимость, замкнутое решение задачи получено для модели со структурой шахматной доски [1]. Более реалистичная модель — двумерная система с регулярным расположением круговых включений рассматривалась еще в работе Рэлея [4], где найдено несколько первых членов вириального разложения для эффективной проводимости. Решение задачи о проводимости (и других эффективных характеристик) модели Рэлея, справедливое при произвольных концентрациях, дано в [5,6]. Наконец, в работе [7] предложен общий метод вычисления различных электрофизических характеристик двумерных двухкомпонентных систем с регулярной структурой.

Иная ситуация в исследовании многокомпонентных сред, гораздо более разнообразных по своим характеристикам, чем двухкомпонентные. И хотя изучение многокомпонентных систем представляет как общефизический, так и прикладной интерес, теория их свойств находится в зачаточном состоянии. Естественно начинать исследование таких объектов с более простых для анализа трехкомпонентных периодических моделей. Определенный шаг в этом направлении сделан в работе [8], где предпринята попытка рассмотрения проводимости двумерной двухподрешеточной системы (рис. 1), являющейся обобщением модели Рэлея, — изотропной матрицы с расположенными в шахматном порядке круговыми включениями двух типов, имеющих разные радиусы и различные проводимости. Однако примененный в [8] приближенный метод пригоден толь-

ко в случае малых концентраций включений. Решение задачи о проводимости и других эффективных характеристиках двухподрешеточной модели, справедливое при произвольных концентрациях, дано в [9] методом работы [5].

В настоящей работе проведен численный анализ общих формул, полученных в [9], во всем интервале изменения концентрации при фиксированном отношении радиусов включений и для ряда значений параметров σ_i/σ_1 ($i = 2, 3$; σ_i — проводимость включений, σ_1 — проводимость матрицы). Вычислены и затабулированы в графическом виде эффективная проводимость модели, парциальные среднеквадратичные характеристики напряженности электрического поля, а также функции, входящие в выражение для эффективного коэффициента Холла в слабом магнитном поле.

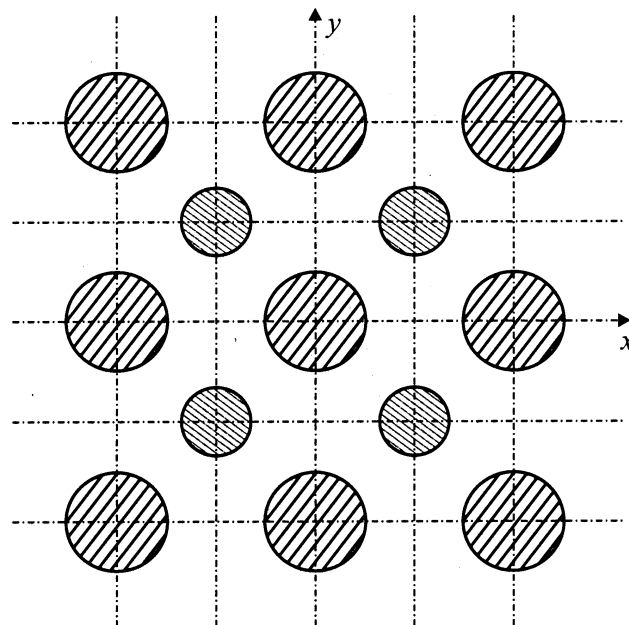


Рис. 1.

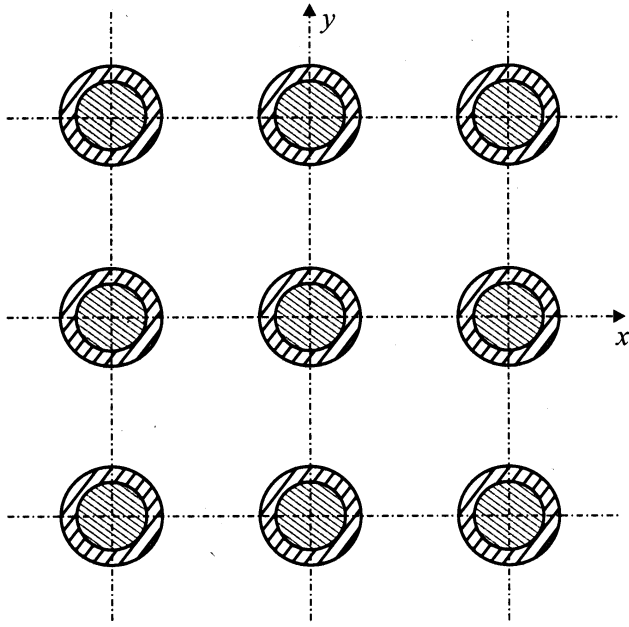


Рис. 2.

Рассмотрена еще одна трехкомпонентная модель, представляющая собой изотропную двумерную матрицу с двухслойными включениями круговой формы, образующими квадратную решетку (рис. 2). Сердцевина и оболочка включения образованы concentрическими окружностями и имеют различную проводимость. Эта система является обобщением модели Рэлея [4] на случай, когда включение покрыто, например, окисной пленкой. Для рассмотренной модели дано аналитическое решение задачи о проводимости и других эффективных величинах. Проведен численный анализ полученных формул и затабулированы те же, что и для двухподрешеточной модели, электрофизические характеристики при ряде фиксированных значений входящих в задачу параметров.

Двухподрешеточная модель

1) Электрическое поле в среде. Рассматриваемая модель представляет собой двумерную изотропную матрицу проводимости σ_1 с включениями круговой формы двух типов, расположенных в шахматном порядке (рис. 1). Включения первого типа (проводимости σ_2 и радиуса R) образуют квадратную решетку с периодом $2a$. Включения второго типа (проводимости σ_3 и радиуса ρ) образуют такую же решетку, сдвинутую на половину периода по осям x и y .

Направим среднюю напряженность электрического поля $\langle \mathbf{E} \rangle$ вдоль оси x . В этом случае для комплексного потенциала матрицы имеем [9]

$$\Phi_1(z) = \beta \left\{ z + \sum_{n=0}^{\infty} B_{2n} \xi^{(2n)}(z) + \sum_{n=0}^{\infty} D_{2n} \xi^{(2n)}(z - z_0) \right\}. \quad (1)$$

Здесь $z = x + iy$, $z_0 = (1 + i)a$, $\xi(z)$ — дзета-функция Вейерштрасса [10], $\xi^{(2n)}(z)$ — производная порядка $2n$ от $\xi(z)$. Постоянные β , B_{2n} и D_{2n} при выбранном направлении $\langle \mathbf{E} \rangle$ вещественны. Коэффициенты B_{2n} и D_{2n} удовлетворяют бесконечной системе алгебраических уравнений. Если ввести вместо B_{2n} и D_{2n} „переменные“ ξ_n и η_n согласно

$$B_{2n} = \frac{R^{2n+2} \delta_{21}}{\sqrt{(2n)!(2n+1)!}} \xi_n, \quad (2)$$

$$D_{2n} = \frac{\rho^{2n+2} \delta_{31}}{\sqrt{(2n)!(2n+1)!}} \eta_n, \quad (3)$$

где

$$\delta_{ij} = \frac{1 - h_{ij}}{1 + h_{ij}}, \quad h_{ij} = \frac{\sigma_i}{\sigma_j},$$

то упомянутая система уравнений примет вид [9]

$$\xi_n + \sum_{m=0}^{\infty} (M_{nm} \xi_m + P_{nm} \eta_m) = \delta_{n0}, \quad (5)$$

$$\eta_n + \sum_{m=0}^{\infty} (Q_{nm} \xi_m + N_{nm} \eta_m) = \delta_{n0}. \quad (6)$$

Здесь δ_{n0} — символ Кронекера. В (5) и (6)

$$M_{nm} = G_{nm} R^{2(n+m+1)} c_{n+m+1} \delta_{21}, \quad (7)$$

$$P_{nm} = G_{nm} R^{2n} \rho^{2m+2} d_{n+m+1} \delta_{31}, \quad (8)$$

$$Q_{nm} = G_{nm} \rho^{2n} R^{2m+2} d_{n+m+1} \delta_{21}, \quad (9)$$

$$N_{nm} = G_{nm} \rho^{2(n+m+1)} c_{n+m+1} \delta_{31}, \quad (10)$$

$$G_{nm} = \frac{(2n+2m)!}{\sqrt{(2n)!(2n+1)!(2m)!(2m+1)!}}. \quad (11)$$

В (7) и (10) c_k — коэффициенты в разложении дзета-функции в окрестности точки $z = 0$ [10]

$$\xi(z) = \frac{1}{z} - \sum_{k=2}^{\infty} \frac{c_k}{2k-1} z^{2k-1}, \quad (12)$$

где

$$c_2 = \frac{g_2}{20}, \quad g_2 = \frac{1}{a^4} \left[K(1/\sqrt{2}) \right]^4, \quad (13)$$

$$c_4 = \frac{1}{3} c_2^2, \quad c_6 = \frac{2}{3 \cdot 13} c_2^3, \quad c_8 = \frac{5}{3 \cdot 13 \cdot 17} c_2^4, \dots$$

В (13) $K(1/\sqrt{2}) = 1.85407\dots$ — полный эллиптический интеграл первого рода $K(k)$ с модулем $k = 1/\sqrt{2}$. Соответственно d_k — коэффициент в разложении дзета-функции в окрестности точки $z = z_0$ [10]

$$\xi(z) = \xi(z_0) - \sum_{k=2}^{\infty} \frac{d_k}{2k-1} (z - z_0)^{2k-1}, \quad (14)$$

где

$$d_2 = -\frac{g_2}{4}, \quad d_4 = \frac{1}{5} d_2^2, \\ d_6 = \frac{2}{75} d_2^3, \quad d_8 = \frac{1}{325} d_2^4, \dots \quad (15)$$

В (14) $z_0 = (1+i)a$, $\xi(z_0) = \pi(1-i)/(4a)$. Величины c_{2k} могут быть последовательно найдены из рекуррентного соотношения [10]

$$c_{2k} = \frac{3}{(4k+1)(2k-3)} \sum_{m=1}^{k-1} c_{2m} c_{2k-2m}, \quad k \geq 2. \quad (16)$$

В свою очередь d_{2k} выражается через c_{2k} следующим образом [9]

$$d_{2k} = [(-4)^k - 1] c_{2k}. \quad (17)$$

Коэффициенты c_n и d_n с нечетными индексами для рассматриваемой квадратной решетки (так называемый лемнискатический случай [10]) равны нулю. Поэтому матрицы M_{nm} , P_{nm} , Q_{nm} и N_{nm} из (7)–(10) отличны от нуля только в том случае, когда индексы n и m имеют различную четность.

2. Эффективные характеристики. Безразмерная эффективная проводимость $f = \sigma_e/\sigma_1$ выражается через величины ξ_0 и η_0 следующим образом [9]:

$$f = \frac{1 - \xi_0 p_2 \delta_{21} - \eta_0 p_3 \delta_{31}}{1 + \xi_0 p_2 \delta_{21} + \eta_0 p_3 \delta_{31}}, \quad (18)$$

где $p_2 = \pi R^2/(2a)^2$ и $p_3 = \pi \rho^2/(2a)^2$ — концентрация соответственно второй и третьей компонент.

С эффективной проводимостью σ_e непосредственно связаны парциальные среднеквадратичные характеристики напряженности электрического поля $\mathbf{E}(\mathbf{r})$ (см., например, [9])

$$\psi_i \equiv \langle \mathbf{e}^2 \rangle^{(i)} = \frac{\partial \sigma_e}{\partial \sigma_i}; \quad \mathbf{e}(\mathbf{r}) = \mathbf{E}(\mathbf{r})/|\langle \mathbf{E}(\mathbf{r}) \rangle|. \quad (19)$$

Здесь $\langle \dots \rangle^{(i)}$ — интеграл по объему (площади в двумерном случае) i -й компоненты ($i = 1, 2, 3$), деленный на объем (площадь) образца V . Для рассматриваемой двухподрешеточной модели имеем [9]

$$\psi_i = \frac{4}{(1+h_{i1})^2} \cdot \frac{p_i J_i}{\Delta^2}, \quad i = 2, 3; \quad (20)$$

$$J_2 = \sum_{n=0}^{\infty} \xi_n^2, \quad J_3 = \sum_{n=0}^{\infty} \eta_n^2, \quad (21)$$

где

$$\Delta = 1 + \xi_0 p_2 \delta_{21} + \eta_0 p_3 \delta_{31}. \quad (22)$$

Согласно [9], величины ψ_i для N -компонентной среды связаны соотношением

$$\sum_{i=1}^N h_{i1} \psi_i = f \quad (23)$$

с f из (18). Отсюда для трехкомпонентной системы находим

$$\psi_1 = f - h_{21} \psi_2 - h_{31} \psi_3, \quad (24)$$

так что для рассматриваемой модели нет необходимости вычислять ψ_1 прямым расчетом с помощью (19).

Эффективный коэффициент Холла R_e в слабом магнитном поле \mathbf{H} выражается через недиагональную (холловскую) составляющую σ_{ae} тензора $\hat{\sigma}_e$ следующим образом:

$$R_e = \frac{1}{H} \cdot \frac{\sigma_{ae}}{\sigma_e^2}. \quad (25)$$

Согласно [9], для N -компонентной среды в линейном по \mathbf{H} приближении имеем

$$\sigma_{ae} = \sum_{i=1}^N \sigma_{ai} \varphi_{ai}, \quad (26)$$

$$\varphi_{ai} = \frac{\langle \mathbf{E}_x^{(x)} \mathbf{E}_y^{(y)} - \mathbf{E}_y^{(x)} \mathbf{E}_x^{(y)} \rangle^{(i)}}{\langle \mathbf{E}_x^{(x)} \rangle \langle \mathbf{E}_y^{(y)} \rangle}, \quad (27)$$

где $\langle \dots \rangle^{(i)}$ — то же, что и в (19); $\mathbf{E}^{(v)} = \mathbf{E}^{(v)}(\mathbf{r})$ — напряженность электрического поля при $\mathbf{H} = \mathbf{0}$; индекс v означает, что $\langle \mathbf{E}^{(v)} \rangle$ направлено вдоль оси v .

В случае N -компонентной системы для функций φ_{ai} имеет место „правило сумм“ [9]

$$\sum_{i=1}^N \varphi_{ai} = 1. \quad (28)$$

Для трехкомпонентной среды, исключая φ_{a1} с помощью (28), из (26) находим

$$\sigma_{ae} = \sigma_{a1} + (\sigma_{a2} - \sigma_{a1}) \varphi_{a2} + (\sigma_{a3} - \sigma_{a1}) \varphi_{a3}. \quad (29)$$

В двумерном случае имеется еще одно соотношение, связывающее величины φ_{ai} с эффективной проводимостью σ_e [9],

$$\sum_{i=1}^N \sigma_i^2 \varphi_{ai} = \sigma_e^2. \quad (30)$$

Для трехкомпонентной системы из (30) после исключения φ_{a1} с помощью (28) получаем

$$1 - (1 - h_{21}^2) \varphi_{a2} - (1 - h_{31}^2) \varphi_{a3} = f^2. \quad (31)$$

Соотношение (31) позволяет в двумерном случае ограничиться вычислением только одной из функций φ_{ai} , например φ_{a2} . С другой стороны, по степени выполнимости равенства (31) можно судить о правильности вычислений при численном анализе системы уравнений (5), (6).

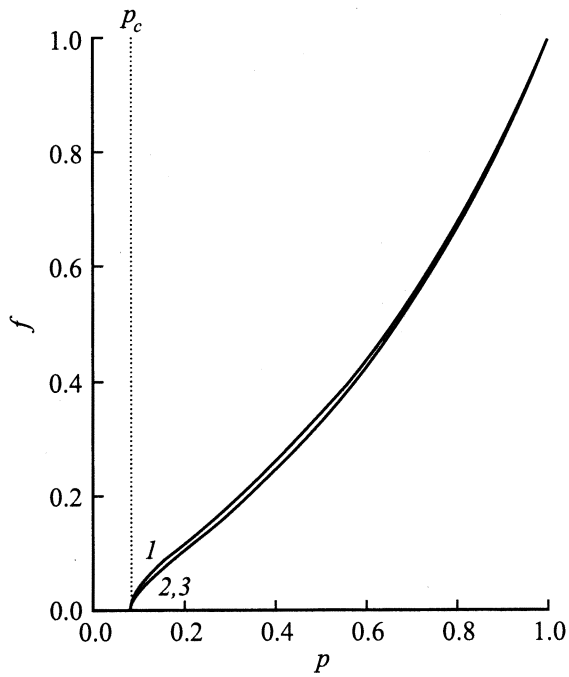


Рис. 3.

$$I_2 = \sum_{n=0}^{\infty} (-1)^n \xi_n^2, \quad I_3 = \sum_{n=0}^{\infty} (-1)^n \eta_n^2 \quad (33)$$

с Δ из (22). В работе [9] показано, что выражения (18), (32) и (33) обращают соотношение (31) в тождество.

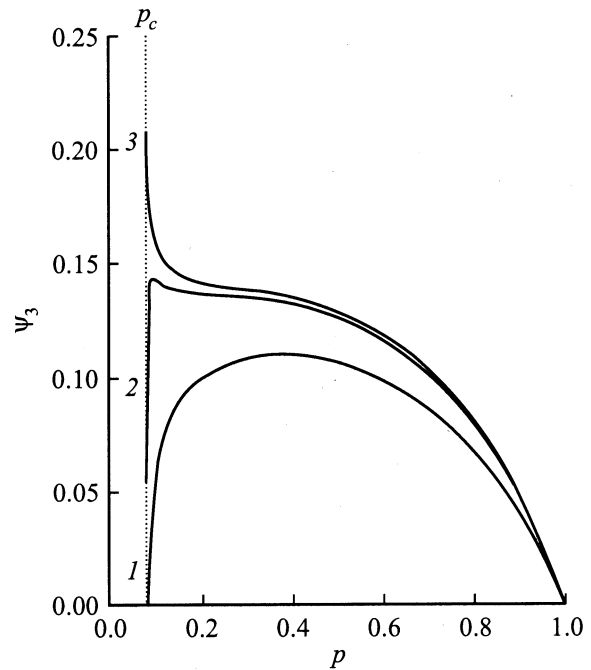


Рис. 5.

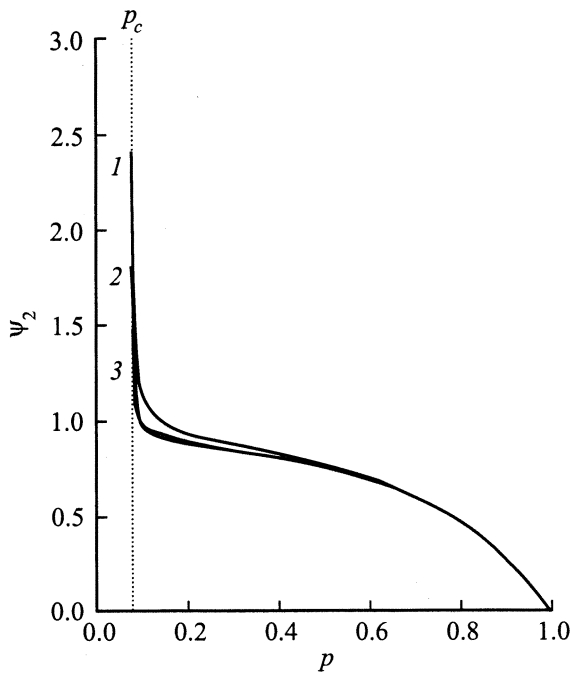


Рис. 4.

Определение функций φ_{a2} и φ_{a3} с помощью формулы (27) для рассматриваемой модели дает [9]

$$\varphi_{ai} = \frac{4}{(1 + h_{i1})^2} \frac{p_i I_i}{\Delta^2}, \quad i = 2, 3, \quad (32)$$

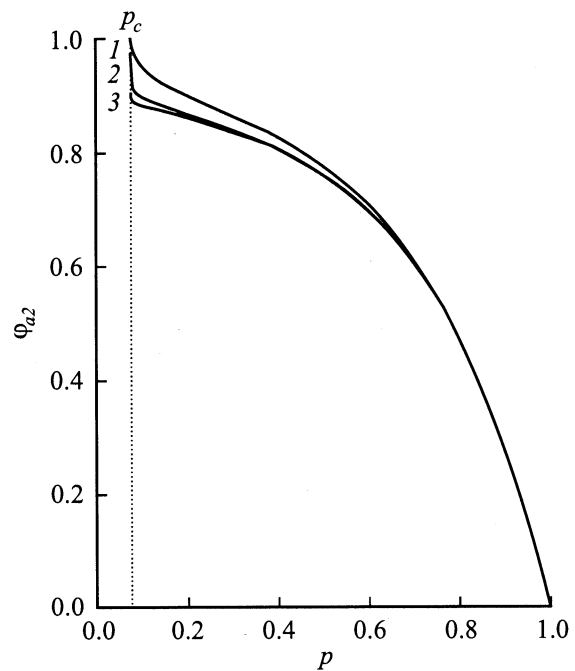


Рис. 6.

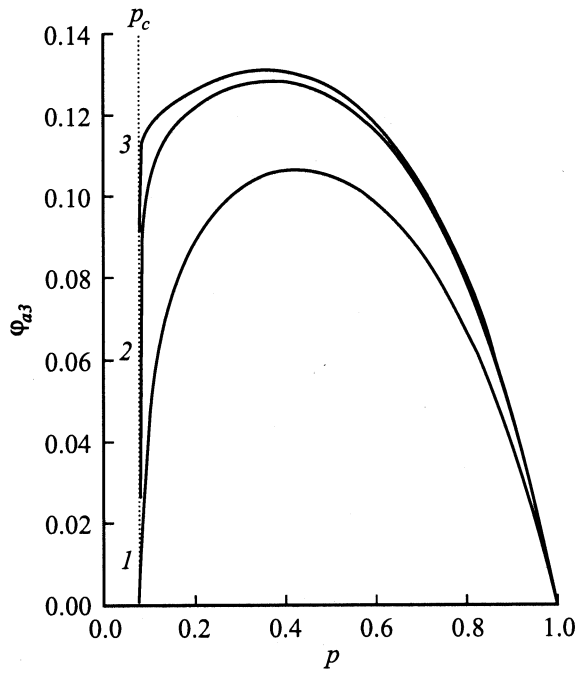


Рис. 7.

В настоящей работе эффективные характеристики двухподрешеточной модели вычислены при $\sigma_2 = 0$ и трех значениях параметра $h_{31} = \sigma_3/\sigma_1$: $1 - 10^{-1}$, $2 - 10^{-2}$, $3 - 10^{-3}$. При этом радиус R принимал значения в интервале от 0 до a , а величина ρ менялась по закону $\rho = (\sqrt{2} - 1)R$. Для определения коэффициентов ξ_n и η_n из бесконечной системы (5), (6) выделялась конечная подсистема из 80 уравнений. Результаты вычисления эффективных величин f , ψ_2 , ψ_3 , φ_{a2} и φ_{a3} как функций концентрации первой компоненты p представлены на рис. 3–7.

Двухслойная модель

1) Электрическое поле в среде. Рассматриваемая модель представляет собой двумерную изотропную матрицу проводимости σ_i с двухслойными включениями круговой формы, образующими квадратную решетку с периодом $2a$ (рис. 2). Сердцевина включения имеет радиус ρ и проводимость σ_3 , а оболочка (проводимости σ_2) ограничена концентрической окружностью радиуса R ($R > \rho$).

Направим среднюю напряженность электрического поля $\langle \mathbf{E} \rangle$ вдоль оси x . В этом случае для комплексных потенциалов матрицы, оболочки и сердцевины имеем соответственно

$$\Phi_1(z) = \beta \left\{ z + \sum_{n=0}^{\infty} B_{2n} \xi^{(2n)}(z) \right\}, \quad (34)$$

$$\rho < |z| < R: \Phi_2(z) = \beta \sum_{n=0}^{\infty} \left\{ C_{2n+1} z^{2n+1} + \frac{D_{2n+1}}{z^{2n+1}} \right\}, \quad (35)$$

$$|z| < \rho: \Phi_3(z) = \beta \sum_{n=0}^{\infty} A_{2n+1} z^{2n+1}. \quad (36)$$

Здесь $\xi^{(2n)}(z)$, как и в (1), — производная порядка $2n$ от дзета-функции Вейерштрасса $\xi(z)$. Коэффициенты β , B_{2n} , C_{2n+1} , D_{2n+1} и A_{2n+1} вещественны.

Электрические потенциалы $\varphi_2(\mathbf{r}) = \text{Re} \Phi_2(z)$ и $\varphi_3(\mathbf{r}) = \text{Re} \Phi_3(z)$ должны удовлетворять стандартным условиям на границе между сердцевиной и оболочкой

$$r = \rho: \varphi_2 = \varphi_3,$$

$$\frac{\partial \varphi_2}{\partial r} = h_{32} \frac{\partial \varphi_3}{\partial r}, \quad h_{32} = \frac{\sigma_3}{\sigma_2}. \quad (37)$$

Из (37) находим выражения для коэффициентов C_{2n+1} и D_{2n+1} через A_{2n+1}

$$C_{2n+1} = \frac{1}{2}(1 + h_{32})A_{2n+1},$$

$$D_{2n+1} = \frac{1}{2}(1 - h_{32})\rho^{4n+2}A_{2n+1}. \quad (38)$$

В свою очередь потенциалы $\varphi_1(\mathbf{r}) = \text{Re} \Phi_1(z)$ и $\varphi_2(\mathbf{r}) = \text{Re} \Phi_2(z)$ должны

$$r = R: \varphi_1 = \varphi_2,$$

$$\frac{\partial \varphi_1}{\partial r} = h_{21} \frac{\partial \varphi_2}{\partial r}, \quad h_{21} = \frac{\sigma_2}{\sigma_1}. \quad (39)$$

При соответствующей процедуре для функции $\xi(z)$ используется разложение (12). В результате для коэффициентов B_{2n} получаем бесконечную систему алгебраических уравнений

$$\begin{aligned} B_{2n} + w_n \frac{1 - h_{21}}{1 + h_{21}} \sum_{m=0}^{\infty} B_{2m} \frac{(2n + 2m)!}{(2n)!(2n + 1)!} c_{n+m+1} R^{4n+2} \\ = \frac{1 - h_{21}}{1 + h_{21}} R^2 w_0 \delta_{n0}, \end{aligned} \quad (40)$$

где

$$w_n = \left[1 + \frac{\delta_{32}}{\delta_{21}} \left(\frac{\rho}{R} \right)^{4n+2} \right] / \left[1 + \delta_{32} \delta_{21} \left(\frac{\rho}{R} \right)^{4n+2} \right]. \quad (41)$$

Величины δ_{ij} определены в (4). Коэффициенты A_{2n+1} выражаются через B_{2n} следующим образом:

$$\begin{aligned} A_{2n+1} = B_{2n} \frac{4}{(1 + h_{21})(1 + h_{32})} \cdot \frac{(2n)!}{R^{4n+2}} \\ \times \left[\delta_{21} + \delta_{32} \left(\frac{\rho}{R} \right)^{4n+2} \right]^{-1}. \end{aligned} \quad (42)$$

Заметим, что уравнения (40) могут быть получены и из общих формул работы [7]. Для двухслойного

кругового включения матрица мультипольных поляризуемостей [7] имеет вид

$$\Lambda_{nm} = \Lambda_n \delta_{nm}, \quad (43)$$

где

$$\Lambda_m = R^{2n} \frac{\delta_{21} + \delta_{32}(\rho/R)^{2n}}{1 + \delta_{21}\delta_{32}(\rho/R)^{2n}}. \quad (44)$$

В (43) δ_{nm} — символ Кронекера. Подстановка (43), (44) в формулы (19), (28) и (33) из [7] приводит для коэффициентов B_{2n} к системе уравнений (40).

Введем вместо B_{2n} „переменные“ ξ_n согласно

$$B_{2n} = \frac{R^{2n+2}\delta_{21}}{\sqrt{(2n)!(2n+1)!}} \xi_n. \quad (45)$$

Тогда уравнение (40) примет вид

$$w_n^{-1}\xi_n + \sum_{m=0}^{\infty} S_{nm}\xi_m = \delta_{n0}, \quad (46)$$

где

$$S_{nm} = G_{nm}c_{n+m+1}R^{2(n+m+1)}\delta_{21} \quad (47)$$

с G_{nm} из (11). Матрица \hat{S} симметрична $S_{nm} = S_{mn}$. Коэффициенты c_{n+m+1} при четном индексе ($n+m+1 = 2k$) определены в (13) и (16), а при нечетном индексе равны нулю. Поэтому матрица S_{nm} отлична от нуля только в том случае, когда индексы n и m имеют различную четность.

Направим теперь $\langle \mathbf{E} \rangle$ вдоль оси y ; величины, относящиеся к этому случаю, будем отмечать черточкой сверху. Для комплексных потенциалов матрицы, оболочки и сердцевинны имеем соответственно

$$\bar{\Phi}_1(z) = -i\bar{\beta} \left\{ z - \sum_{n=0}^{\infty} \bar{B}_{2n} \xi^{(2n)}(z) \right\}, \quad (48)$$

$$\rho < |z| < R: \quad \bar{\Phi}_2(z) = -i\bar{\beta} \sum_{n=0}^{\infty} \left\{ \bar{C}_{2n+1} z^{2n+1} - \frac{\bar{D}_{2n+1}}{z^{2n+1}} \right\}, \quad (49)$$

$$|z| < \rho: \quad \bar{\Phi}_3(z) = -i\bar{\beta} \sum_{n=0}^{\infty} \bar{A}_{2n+1} z^{2n+1}. \quad (50)$$

Величины $\bar{\beta}$, \bar{B}_{2n} , \bar{C}_{2n+1} , \bar{D}_{2n+1} и \bar{A}_{2n+1} вещественны.

Из граничных условий при $r = \rho$ и $r = R$ следует соотношение между \bar{C}_{2n+1} , \bar{D}_{2n+1} и \bar{A}_{2n+1} вида (38), между \bar{A}_{2n+1} и \bar{B}_{2n} — вида (42), а также система уравнений для коэффициентов \bar{B}_{2n} . Если аналогично (45) ввести „переменные“ $\bar{\xi}_n$ согласно

$$\bar{B}_{2n} = \frac{R^{2n+2}\delta_{21}}{\sqrt{(2n)!(2n+1)!}} \bar{\xi}_n, \quad (51)$$

то система уравнений для $\bar{\xi}_n$ примет вид

$$w_n^{-1}\bar{\xi}_n - \sum_{m=0}^{\infty} S_{nm}\bar{\xi}_m = \delta_{n0} \quad (52)$$

с матрицей S_{nm} из (47) и w_n из (41).

Для величин $\bar{\xi}_n$ может быть установлен ряд полезных соотношений („правил сумм“). Умножим (46) на $\bar{\xi}_n$, (52) — на $\bar{\xi}_n$, сложим и просуммируем по всем n . В результате с учетом равенства (62) получим

$$\sum_{n=0}^{\infty} (-1)^n w_n^{-1} \bar{\xi}_n^2 = \xi_0. \quad (53)$$

Рассмотрим теперь систему той же структуры, но с другими проводимостями компонент κ_1 , κ_2 , κ_3 ; величины, относящиеся к этой системе, будем отмечать значками „тильда“ сверху. В этом случае вместо (46) будем иметь

$$\tilde{w}_n^{-1}\tilde{\xi}_n + \sum_{m=0}^{\infty} \tilde{S}_{nm}\tilde{\xi}_m = \delta_{n0}. \quad (54)$$

Умножим (46) на $\tilde{\xi}_n$, (54) — на ξ_n , вычтем друг из друга и просуммируем по всем n . В результате с учетом симметрии матрицы S_{nm} получим

$$\sum_{n=0}^{\infty} (w_n^{-1} - \tilde{w}_n^{-1}) \xi_n \tilde{\xi}_n + \sum_{n=0}^{\infty} \sum_{m=0}^{\infty} (S_{nm} - \tilde{S}_{nm}) \xi_n \tilde{\xi}_m = \tilde{\xi}_0 - \xi_0. \quad (55)$$

Положим в (55) $\kappa_1 = \sigma_1$, $\kappa_3 = \sigma_3$ и перейдем к пределу $\kappa_2 \rightarrow \sigma_2$. В этом случае из (55) следует равенство

$$\sum_{n=0}^{\infty} \xi_n^2 \frac{\partial}{\partial \sigma_2} w_n^{-1} + \sum_{n=0}^{\infty} \sum_{m=0}^{\infty} \xi_n \xi_m \frac{\partial}{\partial \sigma_2} S_{nm} = -\frac{\partial \xi_0}{\partial \sigma_2}. \quad (56)$$

Так как

$$\frac{\partial}{\partial \sigma_2} S_{nm} = \frac{1}{\delta_{21}} \frac{\partial \delta_{21}}{\partial \sigma_2} S_{nm}, \quad (57)$$

то, подставляя (57) в (56) и исключая $\sum_m S_{nm}\xi_m$ с помощью уравнения (46), получим

$$\sum_{n=0}^{\infty} \xi_n^2 w_n^{-2} \frac{\partial}{\partial \sigma_2} (w_n \delta_{21}) = \frac{\partial}{\partial \sigma_2} (\xi_0 \delta_{21}). \quad (58)$$

Аналогичным образом, положив в (55) $\kappa_1 = \sigma_1$, $\kappa_2 = \sigma_2$ и перейдя к пределу $\kappa_3 \rightarrow \sigma_3$, найдем

$$\sum_{n=0}^{\infty} \xi_n^2 \frac{\partial}{\partial \sigma_3} w_n^{-1} = -\frac{\partial \xi_0}{\partial \sigma_3}. \quad (59)$$

2) Эффективные характеристики. Вычисляя, как и в [5], падение напряжения на элементарной

ячейке и полный ток, для безразмерной эффективности проводимости $f = \sigma_e / \sigma_1$ получим

$$f = \left(\alpha - \frac{\pi R^2}{4a^2} \delta_{21} \right) \cdot \left(\alpha + \frac{\pi R^2}{4a^2} \delta_{21} \right)^{-1};$$

$$\alpha = \xi_0^{-1}, \quad (60)$$

так что для определения функции f достаточно найти величину ξ_0 (т.е. коэффициент B_0).

При малой концентрации включений ($R \ll a$) система уравнений (46) может быть решена итерациями — разложением по степеням величины $w_n S_{nm}$

$$\xi_n = w_0 \left\{ \delta_{n0} - w_n \left[S_{n0} - \sum_{m=0}^{\infty} S_{nm} w_m S_{m0} + \sum_{l=0}^{\infty} \sum_{m=0}^{\infty} S_{nl} w_l S_{lm} w_m S_{m0} - \dots \right] \right\}. \quad (61)$$

Сравнение с аналогичным разложением для $\bar{\xi}_n$, следующим из (52), показывает, что

$$\bar{\xi}_n = (-1)^n \xi_n. \quad (62)$$

Из (61) следует вириальное разложение (по степеням R/a) для величин ξ_n , в том числе и для ξ_0 . Удобнее, однако, найти соответствующее разложение для $\alpha = 1/\xi_0$. Из (46) при $n = 0$ имеем

$$\xi_0 = w_0 \left\{ 1 - \sum_{m \neq 0} S_{0m} \xi_m \right\}. \quad (63)$$

Если же $n \neq 0$, то

$$\xi_n = -w_n S_{n0} \xi_0 - w_n \sum_{m \neq 0} S_{nm} \xi_m. \quad (64)$$

Решая уравнение (64) итерациями, получим

$$n \neq 0: \quad \xi_n = -\xi_0 w_n \left\{ S_{n0} - \sum_{m \neq 0} S_{nm} w_m S_{m0} + \sum_{l \neq 0} \sum_{m \neq 0} S_{nl} w_l S_{lm} w_m S_{m0} - \dots \right\}. \quad (65)$$

Подстановка (65) в (63) дает

$$\alpha = \xi_0^{-1} = w_0^{-1} \left\{ 1 - w_0 \sum_{k \neq 0} S_{0k} w_k S_{k0} - w_0 \sum_{k \neq 0} \sum_{l \neq 0} \sum_{m \neq 0} S_{0k} w_k S_{kl} w_l S_{lm} w_m S_{m0} - \dots \right\}. \quad (66)$$

Используя явное выражение для матрицы \hat{S} (см. (47)), из (66) можно найти величину α в виде разложения по

степеням R/a . Так, с точностью до членов $\sim (R/a)^{24}$ включительно имеем

$$\alpha = w_0^{-1} \left\{ 1 - \frac{1}{3} w_0 w_1 (gR^4)^2 \delta_{21}^2 - \frac{1}{63} w_0 w_3 (gR^4)^4 \delta_{21}^2 - \frac{5}{9} \left(w_0 w_1^2 w_2 \delta_{21}^2 + \frac{4}{5 \cdot 11 \cdot 13^2} w_0 w_5 \right) (gR^4)^6 \delta_{21}^2 - \dots \right\}, \quad (67)$$

где $g = g_2/20$, g_2 определено в (13).

Для рассматриваемой модели должно выполняться соотношение взаимности (см., например, [9]), которое связывает безразмерные эффективные проводимости исходной системы и так называемой взаимной системы, отличающейся от исходной заменой $h_{ij} \rightarrow h_{ji}$,

$$f(h_{21}, h_{31}) f(h_{12}, h_{13}) = 1. \quad (68)$$

Заметим, что переход к взаимной системе $h_{ij} \rightarrow h_{ji}$ эквивалентен замене $\delta_{ij} \rightarrow \delta_{ji}$. При этом $w_n \rightarrow w_n$, $S_{nm} \rightarrow S_{nm}$, а величина ξ_0 остается неизменной. Так что, как следует из (60), $f \rightarrow 1/f$ и соотношение взаимности (68) выполняется автоматически.

Для функций ψ_2 и ψ_3 , определенных согласно (19), получаем

$$\psi_2 = \frac{\pi}{(4a)^2} \cdot \frac{(1 + h_{32})^2}{(1 + B_0 \frac{\pi}{4a^2})^2} \cdot \sum_{n=0}^{\infty} (2n + 1) R^{4n+2} (A_{2n+1})^2 \times \left[1 + \delta_{32}^2 \left(\frac{\rho}{R} \right)^{4n+2} \right] \cdot \left[1 - \left(\frac{\rho}{R} \right)^{4n+2} \right]. \quad (69)$$

$$\psi_3 = \frac{\pi}{(2a)^2} \cdot \frac{1}{(1 + B_0 \frac{\pi}{4a^2})^2} \times \sum_{n=0}^{\infty} (2n + 1) \rho^{4n+2} (A_{2n+1})^2. \quad (70)$$

Величина ψ_1 может быть определена из соотношения (24).

Из (60) для производной $\partial \sigma_e / \partial \sigma_2$ находим

$$\frac{\partial \sigma_e}{\partial \sigma_2} = - \frac{2\sigma_1}{(1 + \xi_0 \frac{\pi R^2}{4a^2} \delta_{21})^2} \frac{\pi R^2}{4a^2} \frac{\partial}{\partial \sigma_2} (\xi_0 \sigma_{21}). \quad (71)$$

С другой стороны, подстановка (42) и (45) в (69) дает

$$\psi_2 = - \frac{2\sigma_1}{(1 + \xi_0 \frac{\pi R^2}{4a^2} \delta_{21})^2} \frac{\pi R^2}{4a^2} \times \sum_{n=0}^{\infty} \xi_n^2 w_n^{-2} \frac{\partial}{\partial \sigma_2} (w_n \delta_{21}). \quad (72)$$

Сравнение (72) (с учетом тождества (58)) с (71) приводит в согласии с (19) к равенству

$$\psi_2 = \frac{\partial \sigma_e}{\partial \sigma_2}. \quad (73)$$

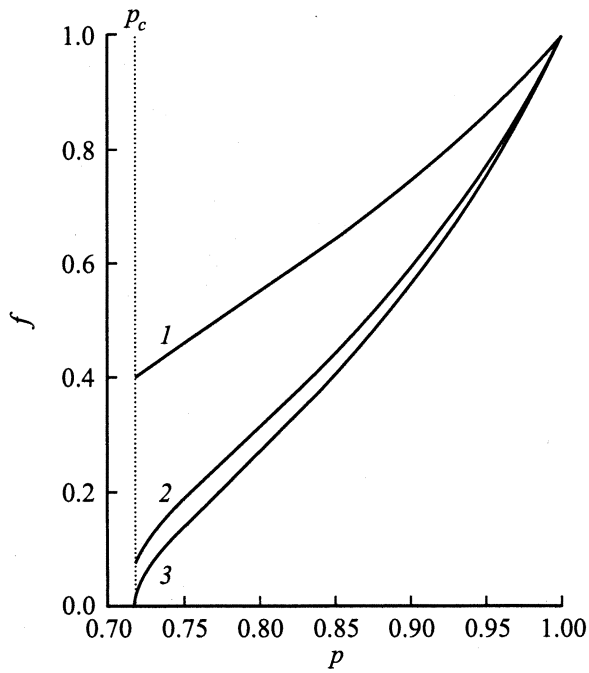


Рис. 8.

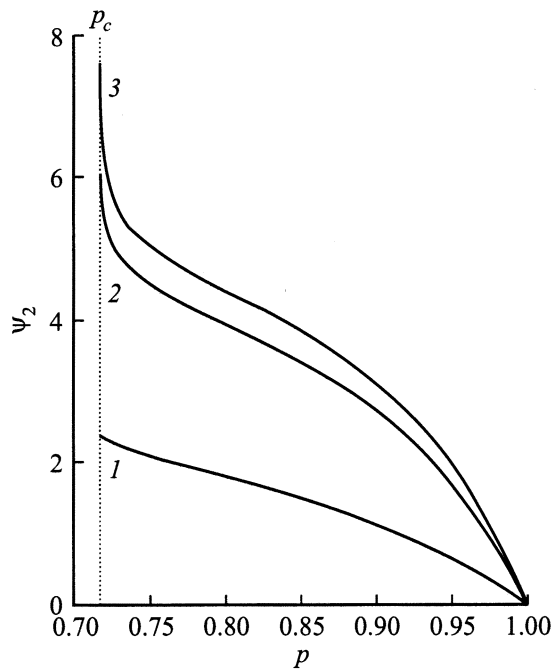


Рис. 9.

Аналогичным образом из (60) и (70) находим соответственно

$$\frac{\partial \sigma_e}{\partial \sigma_3} = - \frac{2\sigma_1}{\left(1 + \xi_0 \frac{\pi R^2}{4a^2} \delta_{21}\right)^2} \frac{\pi R^2}{4a^2} \delta_{21} \frac{\partial \xi_0}{\partial \sigma_3}, \quad (74)$$

$$\psi_3 = \frac{2\sigma_1}{\left(1 + \xi_0 \frac{\pi R^2}{4a^2} \delta_{21}\right)^2} \cdot \frac{\pi R^2}{4a^2} \delta_{21} \sum_{n=0}^{\infty} \xi_n^2 \frac{\partial}{\partial \sigma_3} w_n^{-1}. \quad (75)$$

Сравнение (75) (с учетом соотношения (59)) с (74) приводит к равенству

$$\psi_3 = \frac{\partial \sigma_e}{\partial \sigma_3}, \quad (76)$$

что также согласуется с (19).

Коэффициент Холла дается выражениями (25)–(29). Находя из (35), (36) и (49), (50) напряженности $\mathbf{E}^{(x)}$ и $\mathbf{E}^{(y)}$ и вычисляя входящие в формулы для φ_{a2} и φ_{a3}

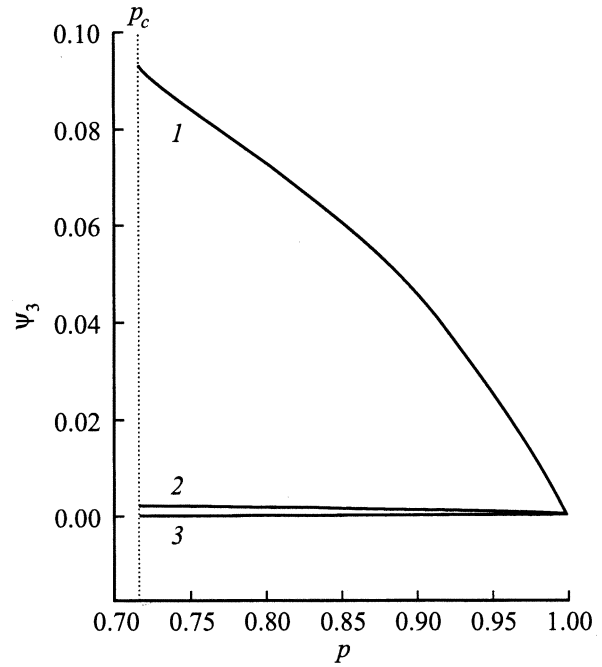


Рис. 10.

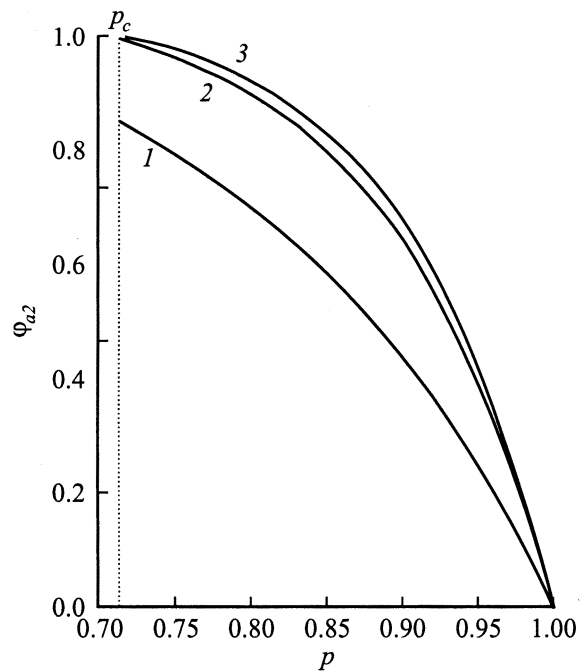


Рис. 11.

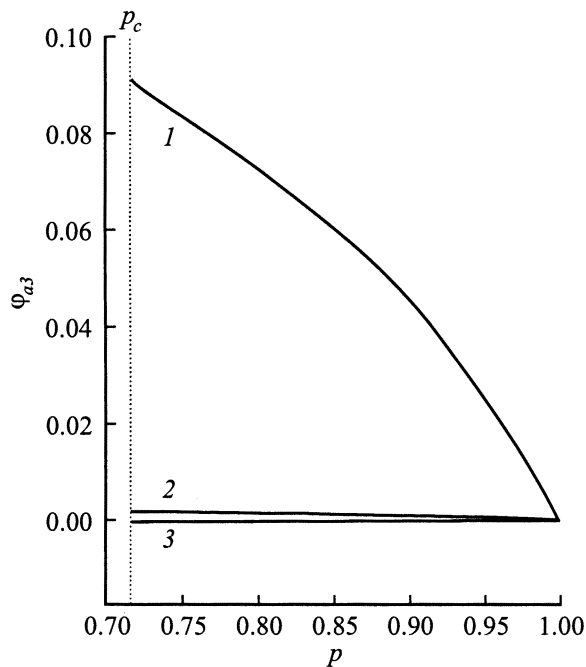


Рис. 12.

Список литературы

- [1] Емец Ю.П. Электрические характеристики композиционных материалов с регулярной структурой. Киев: Наукова думка, 1986. 192 с.
- [2] Балагуров Б.Я. // ЖЭТФ. 1980. Т. 79. Вып. 4 (10). С. 1561–1572.
- [3] Балагуров Б.Я. // ЖТФ. 1981. Т. 51. Вып. 6. С. 1146–1151.
- [4] Lord Rayleigh // Phil. Mag. 1982. Vol. 34. N 211. P. 481–502.
- [5] Балагуров Б.Я., Кашин В.А. // ЖЭТФ. 2000. Т. 117. Вып. 5. С. 978–989.
- [6] Балагуров Б.Я., Кашин В.А. // ЖТФ. 2001. Т. 71. Вып. 1. С. 106–111.
- [7] Балагуров Б.Я. // ЖЭТФ. 2001. Т. 120. Вып. 3(9). С. 668–677.
- [8] Емец Ю.П. // ЖЭТФ. 1998. Т. 114. Вып. 3(9). С. 1121–1136.
- [9] Балагуров Б.Я. // ЖЭТФ. 2001. Т. 119. Вып. 1. С. 142–153.
- [10] Справочник по специальным функциям / Под ред. А. Абрамовица, И. Стиган. М.: Наука, 1979. 832 с.

интегралы (см. (27)), получим

$$\varphi_{a2} = \frac{\pi}{(4a)^2} \cdot \frac{(1 + h_{32})^2}{(1 + B_0 \frac{\pi}{4a^2})^2} \cdot \sum_{n=0}^{\infty} (-1)^n (2n + 1) R^{4n+2} \times (A_{2n+1})^2 \left[1 - \delta_{32}^2 \left(\frac{\rho}{R} \right)^{4n+2} \right] \left[1 - \left(\frac{\rho}{R} \right)^{4n+2} \right], \quad (77)$$

$$\varphi_{a3} = \frac{\pi}{(2a)^2} \cdot \frac{1}{(1 + B_0 \frac{\pi}{4a^2})^2} \times \sum_{n=0}^{\infty} (-1)^n (2n + 1) \rho^{4n+2} (A_{2n+1})^2. \quad (78)$$

Используя выражения (77), (78) и равенства (42), (45), нетрудно показать, что

$$(1 - h_{21}^2) \varphi_{a2} + (1 - h_{31}^2) \varphi_{a3} = \frac{\pi R^2}{a^2} \frac{\delta_{21}}{(1 + \xi_0 \frac{\pi R^2}{4a^2} \delta_{21})^2} \sum_{n=0}^{\infty} (-1)^n w_n^{-1} \xi_n^2. \quad (79)$$

Подставив (53) в (79), можно убедиться, что правая часть (79) равна $1 - f^2$, так что выражениями (77), (78) соотношение (31) тождественно удовлетворяется.

Численный анализ системы (46) проводился для подсистемы из 40 уравнений при $\sigma_3 = \sigma_1$, фиксированном отношении радиусов сердцевин и оболочки $\rho/R = 0.8$ и для трех значений параметра $h_{21} = \sigma_2/\sigma_1$: $1 - 10^{-1}$, $2 - 10^{-2}$, $3 - 10^{-3}$. Результаты вычисления величин f , ψ_2 , ψ_3 , φ_{a2} и φ_{a3} как функций концентрации первой компоненты p приведены на рис. 8–12.